

Kaio: Detector de Expressões Faciais e Classificador de Emoções

1. Introdução

Vivemos em um mundo cada vez mais conectado e imerso em ambientes repletos de dispositivos computadorizados. Tal fenômeno proporcionou o surgimento de estudos em temas como Computação Ubíqua e Pervasiva [Satyanarayanan 2001] e Internet das Coisas [Gubbi et al. 2013]. Desenvolvimentos nestes temas trazem como consequência a necessidade cada vez maior de interação entre o ser humano com máquinas e dispositivos eletrônicos. Novas formas de interação como uso de gestos [Mitra and Acharya 2007] e comandos de voz [Cohen et al. 2004] podem trazer mais agilidade e conforto para que o ser humano realize suas tarefas. Mas tem-se a preocupação em evitar que tais atividades sejam muito frias e monótonas.

O uso de interfaces homem-máquina que levem em consideração as emoções humanas vem sendo alvo estudos recentes. Por exemplo, [Fragopanagos and Taylor 2005], levantam a necessidade de que interações mais naturais com dispositivos sejam baseadas em forma de reconhecimento de emoções, permitindo a esses dispositivos se adaptarem e otimizarem o processo interativo. Assim, propõem o uso de técnicas de inteligência artificial sobre imagens e vozes para a detecção das emoções do usuário. No entanto, não discutem métodos objetivos de como tais técnicas poderiam compor aplicações práticas.

Neste artigo, propomos uma arquitetura baseada em visão computacional para detecção de emoção a partir de expressões faciais e apresentamos um estudo de caso focado na interação com personagens digitais. A arquitetura proposta visa na avaliação de métodos adequados de aprendizado de máquina e formas de interação com diferentes dispositivos. E a aplicação em personagens digitais visa servir de modelo, embora também tenha a motivação de ser aplicado em situações de aprendizado de crianças, pessoas com necessidade especiais ou simples entretenimento.

O restante do artigo está estruturado da seguinte forma. A seção 2 apresenta a fundamentação teórica com conceitos importantes para o entendimento do trabalho e trabalhos relacionados. A seção 3 apresenta a arquitetura proposta e a seção 4 resultados obtidos de sua experimentação. Finalmente, a seção 5 conclui o trabalho e apresenta trabalhos futuros possíveis.

2. Visão Geral sobre Reconhecimento de Expressões Faciais

Quando se tratam de pessoas, e o foco é reconhecer essa complexidade para que a inovação seja alcançada, devemos pensar em ideias inovadoras olhando sempre para as pessoas. A robótica emotiva reflete sobre a real necessidade das máquinas terem emoções e a que ponto isso se torna relevante no futuro para que possamos construir boas relações. A afirmação de [Brown 2009] exemplifica que uma organização que se compromete na aplicação do pensamento centrado nas pessoas, está praticando um interesse mais claro das coisas. A psicologia sempre tenta entender o emaranhado de emoções que o ser humano carrega e de que forma isso pode ser compreendido para melhorar o seu convívio.

O psicólogo [Ekman 2011] explica que não podemos demonstrar emoções em palavras. A emoção é um processo que é avaliado através do nosso passado, que cor-

responde a um sentimento de importância para bem estar, no que diz respeito à atribuição de mudanças fisiológicas de comportamentos que influenciam na interação entre pessoas.

Na visão computacional, [Nunes 2012] e [Pontarolo et al. 2003] explicam que o campo na informática que estuda os aspectos humanos é a computação afetiva, uma área que busca estudar e entender como computadores podem reagir às emoções humanas, através de interfaces e interações computacionais. Por meio de pesquisas como essas, acredita-se que sistemas inteligentes podem ampliar as formas de interação entre homem-máquina despertando emoções humanas.

Uma proposta por [Leão et al. 2012] visa detectar em tempo real, utilizando vídeo ou imagem capturado por uma *webcam* reconhecer e classificar expressões faciais dos usuários. A proposta classifica os movimentos faciais em unidades de ações variando em 6 emoções, os classificadores utilizados foram o Naive Bayes e o *Tree-Augmented-Naive Bayes* (TAN). Outra proposta de [Zhan et al. 2008] é a criação de um mecanismo em tempo real para reconhecimento de expressões destinado a games online, baseado em vídeos do usuário. A proposta permite uma nova forma de interação com os avatares dentro de ambientes de games e utiliza o *framework Viola-Jones* que é baseado no *OpenCv* e classificadores, tais como, *AdaBoost* e *Cascading*.

Um sistema de detecção facial para classificar emoções foi a proposta de [Bartlett et al. 2003] que conta com um mecanismo de detecção facial em tempo real por meio de vídeo que classifica as expressões de usuários em 7 emoções, o projeto utilizou a combinação de dois classificadores, tais como, *AdaBoost* e Máquina de Vetores de Suporte (SVM). Já a proposta de [Lien et al. 2000] consiste em um sistema de detecção de mudanças faciais que classifica em unidades de ações as expressões de usuários. O sistema foi treinado com 100 imagens de homens e mulheres, e classifica as emoções por meio de imagens, utilizando técnicas estatísticas, do tipo, Análise de Discriminantes Lineares (LDA) e Modelo oculto de Markov.

A proposta deste trabalho se diferencia em relação às demais por ser focada na interação com personagens digitais, explorando técnicas de classificação de emoções e detecção de expressões faciais, além de integrar diferentes dispositivos.

3. Kaio: Detector de Expressões Faciais para Classificar Emoções

Esta seção apresenta uma visão geral da ferramenta proposta para detectar expressões faciais e classificá-las em emoções, descrevendo a sua arquitetura, implementação e processo de classificação para possibilitar uma nova forma de interatividade com personagens digitais.

3.1. Descrição da Ferramenta

A solução proposta consiste na arquitetura de uma ferramenta capaz de possibilitar uma nova forma de interatividade com personagens digitais. Diante disso, utilizando técnicas de aprendizagem de máquina e processamento de imagens, a ferramenta deverá classificar emoções por meio da detecção de expressões faciais. Assim, será possível acessar as informações de interação classificadas em níveis de emoção do usuário, a princípio dividida em: **Tristeza, Raiva e Felicidade**.

3.2. Arquitetura da Ferramenta

A arquitetura proposta foi distribuída em 3 (três) componentes:

- Celular: detector de expressões faciais;
- Servidor: classificador de emoções;
- Web: personagem virtual.

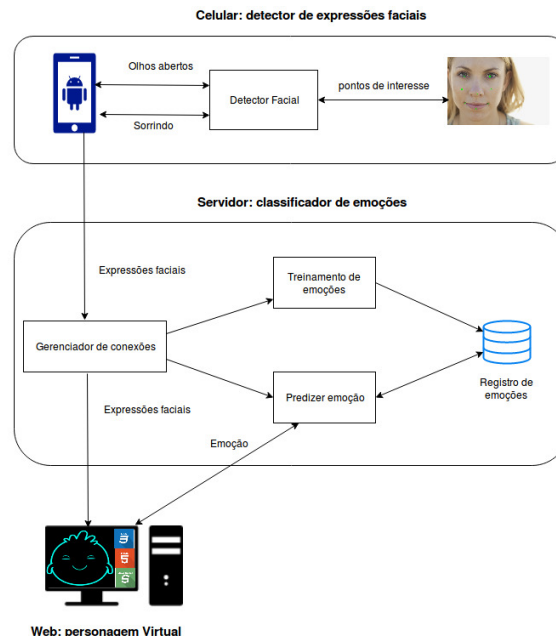


Figure 1. Processo de Funcionamento da Ferramenta

Conforme a Figura 1 apresentou temos uma arquitetura modular dividida em partes separadas com o objetivo de facilitar o desenvolvimento e garantir um baixo acoplamento de cada componente.

3.2.1. Celular: Detector de Expressões Faciais

Este componente é responsável por realizar a detecção das expressões faciais de um usuário por meio do uso de um celular com câmera e sistema operacional *Android*. O componente monitora pontos de interesses, tais como, olhos e boca por meio do uso da biblioteca *Android Mobile Vision* [Google 2017] que repassa as informações para o dispositivo em forma de probabilidades, informando o quanto que o usuário está sorrindo (*smiling*) e as chances de estar com olhos abertos (*eyes open*).

A detecção dos pontos de interesse são transmitidas para o servidor responsável por classificar emoções, que recebe essa informação, e repassa para o componente personagem virtual.

3.2.2. Servidor: Classificador de Emoções

O principal componente neste trabalho é responsável por classificar emoções por meio da detecção de expressões faciais. Neste encontra-se os módulos para treinamento e

predição, além do gerenciador de conexões.

- **Módulo de Treinamento:** Na Figura 1 o módulo "Treinamento de emoções" corresponde a fase que o sistema precisa aprender por um determinado tempo expressões faciais de usuários. Cada usuário ao submeter-se a detecção de expressões faciais, fornece para o sistema informações do tipo: taxa de olho esquerdo aberto; taxa de olho direito aberto; e taxa de sorriso. Estas informações são primordiais para a construção do modelo neste trabalho, e servirão como referência para classificar as emoções, entretanto, é importante frisar, que o treinamento não ocorre durante o uso do sistema, e sim em uma fase anterior, conforme será descrito na seção 4;
- **Módulo de Predição:** Na Figura 1 o módulo "Predizer emoção" corresponde a fase que o sistema já possui uma base de conhecimento com o registro de emoções, já passou pela fase de treinamento, e conhece algumas expressões faciais. Desta maneira, emprega-se um modelo de aprendizagem para ser testado e avaliado em cima da base de conhecimento, preparando para predições. No final, as emoções classificadas irão variar em três níveis, indicando a emoção do usuário em: "Tristeza", "Raiva" e "Felicidade".
- **Módulo Gerenciador de Conexões:** Na Figura 1 o módulo "Gerenciador de Conexões" é o responsável por delegar as operações solicitadas ao servidor que poderá optar por ativar dois módulos: treinamento ou predição.

3.2.3. Web: Personagem Virtual

Este componente é responsável por reproduzir a nova forma de interação proposta neste trabalho, e foi desenvolvido com o objetivo de demonstrar as possibilidades de interação. Ele recebe o processamento da detecção, e executa as animações de um personagem digital, denominado "Kaio", que de acordo com o estado do usuário, assume os estados de piscar e sorrir, imitando o usuário. No final da interação, este componente prediz qual estado emocional o usuário se encontra, classificado nos três níveis citados anteriormente.

4. Experimentos e Resultados

Esta seção descreve os dados que foram analisados, os experimentos, bem como as métricas empregadas para avaliação do sistema de classificação das emoções.

4.1. Dados

Para que seja possível analisar e avaliar o classificador de emoções, segundo seu desempenho, dados de usuários foram coletados para o treinamento do sistema, em uma fase anterior ao uso do sistema, que ocorreu em 2 dias, com 12 pessoas. O treinamento capturou um total de 360 expressões faciais por usuário, divididas em 60 expressões para 1 emoção (tristeza, raiva ou felicidade). Entre as pessoas envolvidas, 2 foram mulheres, 10 homens, considerando pessoas com barba, sem barba, usando óculos e sem óculos. O treinamento considerou as seguintes regras:

- Treinar com 12 pessoas voluntárias;
- Treinar 6 emoções com a mesma pessoa;

- Executar 2 treinamentos para 1 emoção, considerando as 3 (três) emoções possíveis;
- Treinar 8 segundos para cada emoção escolhida;
- Realizar o treinamento das emoções de forma aleatória com as pessoas.

No final do treinamento, a base de treino resultou em 4264 expressões faciais, contento as 3 emoções de tristeza, raiva e felicidade. Esse treinamento serviu como subsídio para o sistema ser capaz de conhecer as emoções. Para cada tupla das expressões faciais capturadas, as características armazenadas e retornadas pela biblioteca *Android Mobile Vision* foram:

- *user*: Identificação do usuário que executou o treino;
- *rate_blink_left*: Probabilidade do olho esquerdo está aberto (0.0 a 1.0);
- *rate_blink_right*: Probabilidade do olho direito está aberto (0.0 a 1.0);
- *rate_smile_or_not*: Probabilidade da pessoa está sorrindo (0.0 a 1.0);
- *emotion*: Emoção do usuário (0-tristeza , 1-raiva, 2-felicidade).

4.2. Avaliação

A avaliação do sistema ocorreu em 3 dias, com 10 pessoas diferente das pessoas voluntárias do treinamento. Nesta fase, foram consideradas as seguintes regras:

- Avaliar com 10 pessoas voluntárias;
- Avaliar 3 vezes com a mesma pessoa;
- Permitir que a mesma pessoa escolha a ordem que desejar treinar, sem exceder as 3 tentativas por pessoa;
- Permitir que a pessoa voluntária anote a emoção que ela realizou e qual o sistema classificou;
- Ter 2 pessoas avaliadoras para julgar a emoção que a pessoa voluntária executou.

No final da avaliação, uma base de 30 observações foi adquirida, que serviu de referência para análise e os resultados alcançados neste trabalho. Para cada observação, as pessoas envolvidas e os avaliadores julgaram uma emoção, e a pessoa voluntária observou também a emoção que o sistema realmente classificou. As emoções foram classificadas em: 0 - Tristeza; 1 - Raiva; e 2 - Felicidade.

4.3. Algoritmo de aprendizagem

Para escolher o melhor modelo de aprendizagem para o sistema, foi elaborado um comparativo empírico baseado na acurácia entre as principais técnicas de aprendizagem de máquina destinadas a classificação. Segundo [Calvo and D'Mello 2010], [Forsyth and Ponce 2011] e [Pradhan 2013], as principais técnicas empregadas geralmente são Redes Neurais, Modelos Estatísticos, Modelos Genéticos e Árvores de Decisão.

Nesse sentido, verificou-se que a técnica de melhor desempenho dentre todas, foi a Árvore de Decisão, a qual foi adotada neste trabalho. Segundo [Du and Zhan 2002] o uso da Árvore de Decisão se destaca em relação ao fácil nível de interpretação, uma classificação explícita, além de baixo custo computacional gerado pela técnica. Outro aspecto interessante, segundo [Kołakowska 2013], são os desempenhos desta técnica, pois dependendo das configurações, os algoritmos podem melhorar sem a necessidade de mais informações.

4.4. Métricas

No contexto de Recuperação de Informação (RI) e Inteligência Artificial (AI), o desempenho de um sistema inteligente para classificação de emoções pode ser mensurado por meio de métricas, tais como: precisão, revocação, validação cruzada, e matriz de confusão, conforme afirmam [Ikonomakis et al. 2005], [MIKAMI et al. 2009] e [Freire et al. 2009].

Precisão: Segundo [Freire et al. 2009], mensura o quanto que foi exato a resposta, em uma proporção de classificações relevantes. Calculada por meio da razão entre total de classificações relevantes dividido pelo total de classificações.

Revocação: Segundo [Freire et al. 2009], é uma medida usada para mensurar o quanto de informação relevante que foi retornado, calculada por meio da razão entre total de classificações relevantes retornadas dividido pelo total de classificações relevantes.

Validação Cruzada: Segundo [MIKAMI et al. 2009] corresponde ao processo de divisão dos dados coletados em uma parte para treinamento e outra parte para testes. Segundo o autor, é um processo importante para analisar os resultados alcançados pelo modelo de aprendizagem, testando o sistema com dados reais diferente dos dados que ele foi treinamento.

Matriz de confusão: Segundo [Freire et al. 2009], a medida oferece uma efetiva avaliação do modelo de classificação considerando o número de classificações corretas e as classificações estimadas para cada classe em um conjunto de dados.

4.5. Análise e Resultados

Nesta fase foram empregadas as métricas descritas, analisando o desempenho do sistema.

4.5.1. Validação Cruzada

Dividiu-se 90% das 4264 expressões faciais para treino e 10% para testes, então com uma matriz de confusão foi possível verificar o desempenho do sistema, conforme a Figura 2.

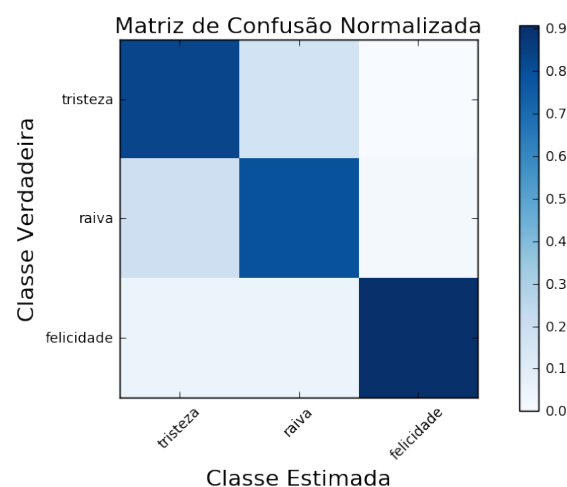


Figure 2. Matriz de Confusão do Sistema

De forma geral, observa-se que o sistema atingiu uma alta precisão para classificar as emoções, pois obteve mais acertos do que erros. A emoção denominada como felicidade, o sistema parece não confundir tanto com as outras emoções, entretanto, para tristeza e raiva o sistema parece se confundir algumas vezes entre as duas emoções.

4.5.2. Comparativo com Avaliação Humana

Nesta fase de avaliação, comparamos a precisão do sistema versus a observação humana feita por dois avaliadores, baseado nos testes feitos pelas 10 pessoas, durante a fase de avaliação. Conforme a demonstra Figura 3.

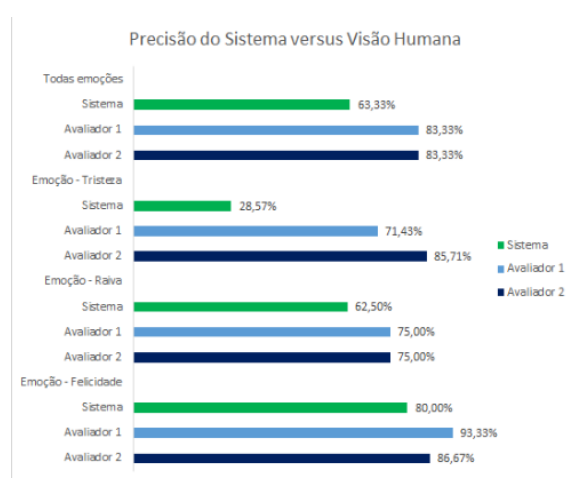


Figure 3. Precisão do Sistema versus Visão Humana

As três primeiras barras correspondem às precisões das avaliações de todas as emoções, classificadas pelo sistema, avaliador 1 e avaliador 2, em relação aos testes feitos pelas pessoas voluntárias durante a avaliação. Pode-se observar que a precisão dos avaliadores humanos em relação à emoção detectada pelos avaliadores foi de 83%, o que mostra um ruído natural na comunicação entre humanos. Já o sistema proposto acertou 63%, 20 pontos percentuais a menos que os avaliadores humanos. Isso se deve à menos características do sistema na detecção de pontos de expressão da face.

As outras barras na Figura 3, demonstram o desempenho do sistema versus a visão humana para cada emoção de forma individual. É possível observar que os acertos do sistema em relação aos avaliadores se manteve em 20 pontos percentuais a menos para a emoção de Raiva, no caso da Felicidade, os acertos ficaram entre 6 e 13 pontos percentuais a menos em relação aos avaliadores, relevando a melhor classificação do sistema. Entretanto, para Tristeza, os acertos não foram maiores que os erros, revelando que o sistema mostrou dificuldade para classificar corretamente esta emoção.

5. Conclusão

O trabalho permitiu avaliar e apresentar um estudo de caso focado na interação com personagens digitais para classificar a emoção do usuário por meio da detecção de expressões faciais. Os resultados mostram que mesmo seres humanos apresentam erros ao interpretar

emoções de outros seres humanos, mas que métodos automáticos, como o proposto neste trabalho, podem ser úteis em alguns cenários.

Para algumas emoções como raiva e tristeza, o sistema não teve um desempenho tão alto quanto a classificação da felicidade, devido aos poucos atributos fornecidos pela biblioteca *Android Mobile Vision* para detecção facial. No entanto, a possibilidade de acertar a emoção felicidade com precisão de 80% já pode ser muito útil para aplicações de entretenimento infantil como proposto. A biblioteca oferece apenas 3 pontos de interesse - olhos (esquerdo e direito) e boca, talvez se fosse possível ter outros pontos de detecção na biblioteca como a sobrancelha, poderia permitir diferenciar a Raiva de Tristeza por meio de mais características, isso fica como proposta para trabalhos futuros.

Todavia, espera-se que o trabalho possa servir como modelo para interação entre diferentes dispositivos e principalmente para personagens digitais. E se for possível aplicar a ferramenta no entretenimento ou até mesmo como ferramenta educacional, será um ganho a mais para a pesquisa.

References

- Bartlett, M. S., Littlewort, G., Fasel, I., and Movellan, J. R. (2003). Real time face detection and facial expression recognition: Development and applications to human computer interaction. In *Computer Vision and Pattern Recognition Workshop, 2003. CVPRW'03. Conference on*, volume 5, pages 53–53. IEEE.
- Brown, T. (2009). *Change by design*. Collins Business.
- Calvo, R. A. and D'Mello, S. (2010). Affect detection: An interdisciplinary review of models, methods, and their applications. *IEEE Transactions on Affective Computing*, 1(1):18–37.
- Cohen, M. H., Cohen, M. H., Giangola, J. P., and Balogh, J. (2004). *Voice user interface design*. Addison-Wesley Professional.
- Du, W. and Zhan, Z. (2002). Building decision tree classifier on private data. In *Proceedings of the IEEE International Conference on Privacy, Security and Data Mining - Volume 14, CRPIT '14*, pages 1–8, Darlinghurst, Australia, Australia. Australian Computer Society, Inc.
- Ekman, P. (2011). *A linguagem das emoções*. São Paulo: Lua de Papel.
- Forsyth, D. and Ponce, J. (2011). *Computer vision: a modern approach*. Upper Saddle River, NJ; London: Prentice Hall.
- Fragopanagos, N. and Taylor, J. G. (2005). Emotion recognition in human–computer interaction. *Neural Networks*, 18(4):389–405.
- Freire, P. P., de Oliveira Lombardi, L., Ciferri, R. R., Thiago Alexandre Salgueiro Pardo, C. D. d. A. C., and Vieira, M. T. P. (2009). Relatório técnico: Métricas de avaliação. projeto: Um ambiente para análise de dados da doença anemia falciforme.
- Google (2017). Detect Faces. URL: <https://developers.google.com/vision/> Access in 2017-03-22.

- Gubbi, J., Buyya, R., Marusic, S., and Palaniswami, M. (2013). Internet of things (iot): A vision, architectural elements, and future directions. *Future generation computer systems*, 29(7):1645–1660.
- Ikonomakis, M., Kotsiantis, S., and Tampakas, V. (2005). Text classification using machine learning techniques. *WSEAS transactions on computers*, 4(8):966–974.
- Kořakowska, A. (2013). A review of emotion recognition methods based on keystroke dynamics and mouse movements. In *Human System Interaction (HSI), 2013 The 6th International Conference on*, pages 548–555. IEEE.
- Leão, P., Leonardo, Santos Bezerra, J., Nogueira Matos, L., and Silveira Netto Nunes, M. A. (2012). Detecção de expressões faciais: Uma abordagem baseada em análise do fluxo Óptico. *GEINTEC–Gestão, Inovação e Tecnologias*, 2(5):472–489.
- Lien, J. J.-J., Kanade, T., Cohn, J. F., and Li, C.-C. (2000). Detection, tracking, and classification of action units in facial expression. *Robotics and Autonomous Systems*, 31(3):131–146.
- MIKAMI, R., SANTOS, L., VENDRAMIN, A., and KAESTNER, C. (2009). Procedimentos de validação cruzada em mineração de dados para ambiente de computação paralela. *Artigo do Departamento Acadêmico de Informática Universidade Tecnológica Federal do Paraná, Curitiba, Brasil*.
- Mitra, S. and Acharya, T. (2007). Gesture recognition: A survey. *IEEE Transactions on Systems, Man, and Cybernetics, Part C (Applications and Reviews)*, 37(3):311–324.
- Nunes, M. (2012). Computação afetiva personalizando interfaces, interações e recomendações de produtos, serviços e pessoas em ambientes computacionais. *DCOMP e PROCC: Pesquisas e Editora UFS: São Cristóvão*, pages 115–151.
- Pontarolo, E., Bercht, M., and Vicari, R. M. (2003). Diferentes abordagens de computação afetiva em sistemas multiagentes e sistemas tutores inteligentes. *Informática na educação: teoria & prática. Porto Alegre. Vol. 6, n. 2 (jul./dez. 2003), p. 21-37*.
- Pradhan, B. (2013). A comparative study on the predictive ability of the decision tree, support vector machine and neuro-fuzzy models in landslide susceptibility mapping using gis. *Computers & Geosciences*, 51:350–365.
- Satyanarayanan, M. (2001). Pervasive computing: Vision and challenges. *IEEE Personal communications*, 8(4):10–17.
- Zhan, C., Li, W., Ogunbona, P., and Safaei, F. (2008). A real-time facial expression recognition system for online games. *International Journal of Computer Games Technology*, 2008:10.